

УДК 532.787:550.3

## ЗАРОЖДЕНИЕ И РАЗВИТИЕ КАВИТАЦИИ В МАГМЕ ПРИ ДИНАМИЧЕСКОЙ РАЗГРУЗКЕ

М. Н. Давыдов, В. К. Кедринский, А. А. Чернов\*, К. Такаяма\*\*

Институт гидродинамики им. М. А. Лаврентьева СО РАН, 630090 Новосибирск

\* Институт теплофизики им. С. С. Кутателадзе СО РАН, 630090 Новосибирск

\*\* Междисциплинарный исследовательский центр по ударным волнам, Сендай, Япония

E-mails: kedr@hydro.nsc.ru, chernov@itp.nsc.ru

С использованием кинетической теории фазовых превращений построена полная система уравнений и численно решена задача о прохождении волны разрежения по столбу магматического расплава, находящегося в поле тяжести. С учетом эффекта диффузионных зон и частоты нуклеации как функции пересыщения найдена зависимость числа ядер кавитации, образующихся в процессе фазовых превращений за фронтом волны разрежения. Исследована динамика распределения кавитационных пузырьков по размерам вдоль столба магматического расплава (1 км), вязкость которого динамически изменяется как функция концентрации растворенной воды.

**Ключевые слова:** взрывное вулканическое извержение, динамическая разгрузка, кавитация.

**Введение.** Вулканические извержения весьма разнообразны по своим проявлениям. Типичным для вулканов является так называемое экструзивное извержение [1], когда раскаленный поток базальтовой магмы “выдавливается” из канала. Механизм этого процесса определяется общим понижением давления при подъеме магмы в верхние горизонты коры и как следствие выделением растворенных веществ в виде пузырьков газа, которое приводит к росту пузырькового давления в магматической камере. Превышение этого давления над некоторым критическим значением и приводит к экструзивному извержению. В [1] отмечается, что богатая кремнием магма заметно холоднее, она может быть на 10 порядков более вязкой, чем базальтовая, а ее извержение носит взрывной (эксплозивный) характер.

Сам вулкан фактически представляет собой гидродинамическую систему, которая состоит из магматической камеры, находящейся в верхней коре на глубине 7–10 км и заполненной горячей магмой (расплавленный  $\text{SiO}_2$ , 50–70 % по массе) под высоким давлением, отделенного диафрагмой от камеры вертикального канала (“конduit”), диаметр которого может достигать десятков метров, и закрывающей канал пробки (диафрагмы). Последняя образуется в период между извержениями и представляет собой затвердевшую магму. В результате подвижек земной коры, вызванных, в частности, землетрясениями [1], может произойти разрушение пробки, что приведет к быстрой разгрузке магмы и как следствие к ее извержению. Это соответствует типичной схеме гидродинамической трубки разрежения, секция высокого давления которой заполнена жидкостью, а рабочими секциями являются и секция высокого давления, где исследуется начальная стадия развития кавитации

---

Работа выполнена при финансовой поддержке Международного фонда INTAS (код проекта 01-0106), Российского фонда фундаментальных исследований (код проекта 03-01-00274-а), фонда “Ведущие научные школы” (гранты № НШ-2073.2003.1; НШ-523.2003.1), интеграционного проекта № 22 СО РАН.

за фронтом волны разрежения, распространяющейся по сжатой жидкости после разрыва диафрагмы, и секция низкого давления, где исследуется процесс разлета жидкости.

Магма обладает уникальными физико-химическими свойствами. Среди них прежде всего следует отметить наличие растворенных веществ, таких как двуокись углерода, серы и воды, концентрация которой может составлять 5–7 % по массе, а также высокую вязкость магмы, которая варьируется в диапазоне от  $10^2$  до  $10^{12}$  Па·с в зависимости от концентрации растворенного газа и содержащихся в ней кристаллитов. Из-за сложности изучения вулканических извержений в реальных условиях ввиду их редкости и непредсказуемости большое значение имеет моделирование этих явлений в рамках механики сплошных сред.

Среди множества работ по данной тематике отметим цикл исследований [2–6], в которых предпринята попытка моделирования динамики извержения в общей постановке. Большой класс работ посвящен рассмотрению отдельных процессов, сопровождающих данное явление. Это работы по динамике роста одиночного пузырька в вязком газонасыщенном расплаве [7–9] и сопровождающим его тепловым эффектам [10], механизму затвердевания магмы при ее декомпрессии [11, 12] и т. п.

Однако, несмотря на значительные усилия, предпринимаемые в исследовании данного явления, до сих пор остается множество вопросов, требующих отдельного рассмотрения. В частности, в недостаточной степени изучена начальная стадия процесса извержения, когда в результате быстрой разгрузки в магме зарождаются ядра кавитации. Моделированию этого процесса в тяжелой магме, исследованию динамики роста кавитационных пузырьков в среде с динамически изменяющейся вязкостью в результате диффузии растворенного газа и посвящена настоящая работа.

**Постановка задачи.** Вертикальный столб газонасыщенного магматического расплава высотой  $H$ , находящийся в поле тяжести, снизу граничит с магматической камерой, сверху отделен диафрагмой от внешней среды (давление атмосферы обозначим  $p_0$ ). Введем ось  $z$ , направленную вертикально вверх с началом координат на границе столба с камерой. Начальное давление в магме в системе камера — столб соответствует давлению магмы в камере с учетом гидростатики:  $p_i(z) = p_{ch} - \rho_0 g z$ , где  $\rho_0$  — плотность магмы;  $p_{ch}$  — давление при  $z = 0$ .

Считается, что газ, растворенный в магме, изначально находится при равновесной концентрации  $C^{eq}$ , зависимость которой от давления  $p$  определяется законом Генри. Для воды, растворенной в магматическом расплаве, эта зависимость имеет вид [13]

$$C^{eq}(p) = K_H \sqrt{p}, \quad (1)$$

где  $K_H$  — постоянная Генри. Соответственно, зависимость начальной концентрации  $C_i$  растворенного в магме газа от  $z$  определяется соотношением  $C_i(z) = C^{eq}(p_i(z))$ .

В начальный момент времени ( $t = 0$ ) диафрагма, сдерживающая расплав, разрушается, поверхность при  $z = H$  становится свободной, и по магме вертикально вниз начинает распространяться волна разрежения. При этом растворенный в магме газ за фронтом волны оказывается в пересыщенном состоянии, в результате чего в объеме расплава начинают спонтанно зарождаться и расти газовые пузырьки. Схематически данный процесс изображен на рис. 1. Давление в магматической камере (на границе  $z = 0$ ) на протяжении всего процесса поддерживается постоянным.

Для описания рассматриваемого процесса запишем одномерные уравнения динамики вязкой жидкости, содержащей пузырьки газа:

— уравнение неразрывности

$$\frac{\partial \rho}{\partial t} + \frac{\partial (\rho v)}{\partial z} = 0; \quad (2)$$

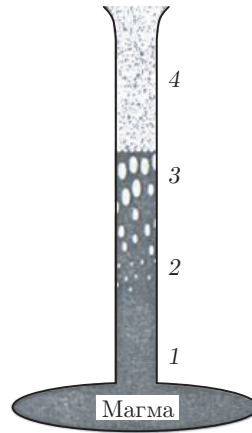


Рис. 1. Схема развития кавитации в магме при динамической разгрузке:  
 1 — однородный поток; 2 — пузырьковая жидкость; 3 — зона фрагментации; 4 — газозвесь

— уравнение Навье — Стокса

$$\frac{\partial v}{\partial t} + v \frac{\partial v}{\partial z} = -\frac{1}{\rho} \frac{\partial p}{\partial z} - g + \frac{1}{\rho} \frac{\partial}{\partial z} \left( \mu \frac{\partial v}{\partial z} \right). \quad (3)$$

Здесь  $v$ ,  $\rho$ ,  $p$ ,  $\mu$  — средняя скорость, плотность, давление и вязкость среды соответственно.

Уравнения (2), (3) следует дополнить уравнением состояния. В данной работе используем уравнение Тэта [14], в котором плотность жидкого компонента выражена из уравнения состояния двухфазной смеси через ее среднюю плотность и объемную концентрацию газовой фазы  $k$ :

$$p = p_0 + \frac{\rho c^2}{n} \left\{ \left( \frac{\rho}{\rho_0(1-k)} \right)^n - 1 \right\}, \quad (4)$$

где  $c$  — скорость звука в жидкости;  $n$  — константа уравнения Тэта.

Зависимость вязкости магматического расплава от температуры  $T$  и массовой концентрации  $C$  растворенного газа определяется соотношением [15, 16]

$$\mu = \mu^* \exp \{ E_\mu(C) / (k_B T) \}, \quad (5)$$

где  $E_\mu(C) = E_\mu^*(1 - k_\mu C)$  — энергия активации;  $E_\mu^*$  — энергия активации для “сухого” расплава;  $k_\mu$  — эмпирический коэффициент;  $\mu^*$  — предэкспоненциальный множитель;  $k_B$  — постоянная Больцмана. Из соотношения (5) видно, что в процессе дегазации расплава его вязкость увеличивается на несколько порядков.

Объемную концентрацию пузырьков  $k$ , образующихся за фронтом волны разрежения, определим согласно результатам работы [17], в которой показано, что задача о суммарной кинетике зарождения и роста газовых пузырьков в растворе, пересыщенном в результате декомпрессии, аналогична задаче о суммарной кинетике спонтанной кристаллизации переохлажденного расплава, рассмотренной А. Н. Колмогоровым [18]. В данной работе из условия, что зарождение новых центров возможно только в незакристаллизовавшейся области, получены зависимости доли кристаллической массы и числа образующихся центров кристаллизации от времени при заданной скорости роста кристаллов и частоте нуклеации, которая полагается однородной во всем объеме расплава, что отвечает приближению изотермического роста кристаллов. Покажем, что решение, полученное в [18], с некоторой модификацией может быть применено и к рассматриваемой задаче.

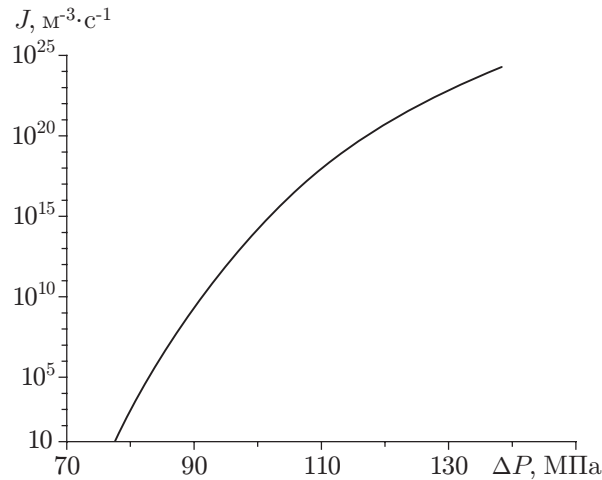


Рис. 2. Зависимость частоты нуклеации от пересыщения

Как отмечено выше, в результате декомпрессии в расплаве начинают спонтанно зарождаться газовые пузырьки. Частота их зарождения определяется выражением

$$J = J^* \exp(-W_*/(k_B T)), \quad (6)$$

где  $J$  — частота гомогенной нуклеации;  $W_* = 16\pi\sigma^3/(3\Delta p^2)$  — работа образования критического зародыша в гомогенном процессе;  $J^* = (2n_g^2 V_g D/d_g)(\sigma/k_B T)^{1/2}$  — предэкспоненциальный множитель [8];  $\sigma$  — поверхностное натяжение на границе расплав — газ;  $n_g$  — число потенциальных центров зарождения в единице объема расплава, которое полагается равным числу молекул растворенного в расплаве газа;  $D$  — коэффициент диффузии газа в расплаве;  $V_g$  — объем молекулы газа;  $d_g$  — среднее расстояние между соседними молекулами газа в расплаве;  $\Delta p = p_s - p$  — разность давления насыщения  $p_s(C)$  растворенного газа и текущего давления  $p$ . Величина  $\Delta p$  может быть выражена через пересыщение расплава  $\Delta C = C - C^{eq}(p)$  с помощью закона Генри (1). Зависимость частоты нуклеации от пересыщения представлена на рис. 2.

Динамика одиночного пузырька в вязкой жидкости описывается уравнением Рэлея с вязкой добавкой [14]

$$R\ddot{R} + (3/2)\dot{R}^2 = \rho^{-1}(p_g - p) + 4\nu R^{-1}\dot{R}, \quad (7)$$

где  $R$  — радиус пузырька;  $p_g$  — давление газа в пузырьке;  $p$  — давление окружающей среды;  $\nu = \mu/\rho$  — кинематическая вязкость. Ввиду большой вязкости магматических расплавов в расчетах инерционными членами в уравнении (7) можно пренебречь.

Давление  $p_g$  определяется диффузионным потоком газа из пересыщенного расплава в пузырьки, для нахождения которого используем квазистационарное решение уравнения диффузии газа в расплаве

$$C(r) = C_i - (C_i - C^{eq}(p_g))R/r, \quad (8)$$

где  $r$  — радиальная координата;  $C_i$  — концентрация газа вдали от пузырька. Тогда имеем

$$\frac{dm_g}{dt} = 4\pi R^2 \rho D \left( \frac{\partial C}{\partial r} \right)_R = 4\pi R \rho D (C_i - C^{eq}(p_g)), \quad (9)$$

где  $m_g$  — масса газа в пузырьке.

Систему (7)–(9) следует дополнить уравнением состояния газа в пузырьке (считается идеальным)

$$(4/3)p_g R^3 = (m_g/M)k_B T, \quad (10)$$

где  $M$  — молекулярная масса газа.

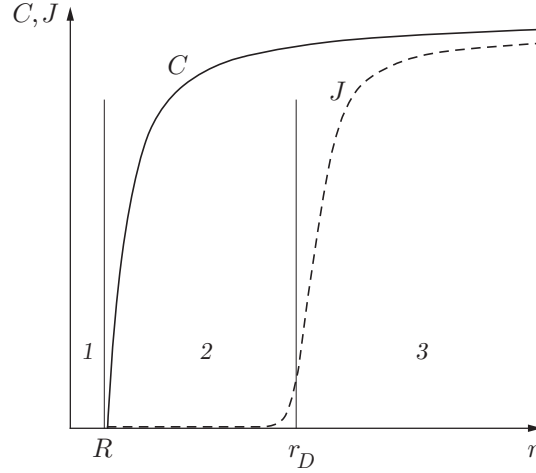


Рис. 3. Схематическое изображение зависимости концентрации газа ( $C$ ) и частоты нуклеации ( $J$ ) от координаты  $r$ :  
 1 — пузырек; 2 — диффузионный слой; 3 — область нуклеации

Из соотношения (8) следует, что с приближением к растущему пузырьку концентрация газа в расплаве уменьшается, т. е. вокруг пузырька формируется диффузионный пограничный слой (рис. 3). Ввиду сильной зависимости частоты нуклеации от пересыщения (см. соотношение (6), а также рис. 2) в первом приближении можно считать, что зарождение пузырьков происходит только вне диффузионного слоя (область 3 на рис. 3), при этом частоту нуклеации в данной области можно положить равной частоте вдали от пузырька. Зарождение же новых пузырьков внутри диффузионного слоя хотя и возможно, однако существенного вклада в суммарный процесс газовой выделении не даст, так как частота нуклеации в этой области значительно меньше, чем вне ее. Толщину диффузионного слоя  $r_D$  определим из условия  $J(r_D)/J(r \rightarrow \infty) = 1/10$ . Подставляя в данное соотношение зависимость для частоты нуклеации (6), с учетом (8) получим

$$r_D = \varkappa R,$$

где  $\varkappa = 64\pi\sigma^3 / (3k_B T (p_i - p)^2 (1 + \sqrt{p/p_i}) \ln 10)$ .

Вышесказанное позволяет модифицировать решение, полученное в [18], применительно к кинетике газовой выделении. Проводя аналогию между объемом кристаллита и объемом диффузионной области вокруг одиночного пузырька, имеем

$$X_D(t) = 1 - \exp\left(-\int_0^t J(\tau) v_D(t - \tau) d\tau\right), \quad (11)$$

где  $X_D$  — суммарный объем диффузионных областей вокруг пузырьков в единице объема расплава;  $v_D = (4\pi/3)(\varkappa^3 - 1)R^3$  — объем диффузионной области вокруг одиночного пузырька.

Тогда число пузырьков  $N_b$ , образующихся в единице объема за время  $t$ , определяется выражением

$$N_b(t) = \int_0^t J(\tau) (1 - X_D(\tau)) d\tau. \quad (12)$$

Из соотношений (11), (12) следует, что нуклеация пузырьков прекращается, когда диффузионные области от растущих пузырьков полностью перекрывают весь объем ( $X_D \rightarrow 1$ ). Согласно оценкам, приведенным в [17], характерное время нуклеации существенно меньше времени всего процесса газовой выделенной, т. е. основная масса газа выделяется на стадии диффузионного роста образовавшихся пузырьков.

Зная зависимость от времени числа образующихся в магме пузырьков и скорость их роста, можно найти объемную долю пузырьков  $\kappa$ , зарождающихся в единице объема расплава:

$$\kappa = \frac{4\pi}{3} \int_0^t \dot{N}_b(\tau) R^3(t - \tau) d\tau. \quad (13)$$

Учитывая, что объем среды в процессе роста пузырьков увеличивается, получим соотношение  $k = \kappa/(1 + \kappa)$ .

Перейдем к следующим безразмерным переменным (с тильдой):  $\tilde{\rho} = \rho/\rho_0$ ;  $\tilde{\mu} = \mu/\mu_0$ ;  $\tilde{p} = p/p_0$ ;  $\tilde{z} = z/z_0$ ;  $\tilde{v} = v/v_0$ ;  $\tilde{t} = t/t_0$ , где  $t_0 = z_0/v_0$ ;  $\tilde{R} = R/z_0$ ;  $\tilde{p}_g = p_g/p_0$ ;  $\tilde{m}_g = m_g/m_0$ , где  $m_0 = (4\pi/3)\rho_0 z_0^3$ ;  $\tilde{J} = J/J_0$ . Здесь  $\mu_0 = \mu^* \exp\{E_\mu(C_i(p_{ch}))/k_B T\}$  — начальная вязкость магмы при  $z = 0$ ;  $J_0 = J^* e^{-G}$  — характерная частота нуклеации;  $G = 16\pi\sigma^3/(3p_{ch}^2 k_B T)$  — число Гиббса. Тогда систему (2)–(13) можно будет записать в безразмерных переменных.

Уравнения динамики жидкости:

$$\begin{aligned} \frac{\partial \tilde{\rho}}{\partial \tilde{t}} + \frac{\partial (\tilde{\rho} \tilde{v})}{\partial \tilde{z}} &= 0, \\ \frac{\partial \tilde{v}}{\partial \tilde{t}} + \tilde{v} \frac{\partial \tilde{v}}{\partial \tilde{z}} &= -\frac{\text{Eu}}{\tilde{\rho}} \frac{\partial \tilde{p}}{\partial \tilde{z}} - \frac{1}{\text{Fr}} + \frac{1}{\text{Re}} \frac{1}{\tilde{\rho}} \frac{\partial}{\partial \tilde{z}} \left( \tilde{\mu} \frac{\partial \tilde{v}}{\partial \tilde{z}} \right), \\ \tilde{\mu} &= \exp \frac{E_\mu^* k_\mu (C_i(p_{ch}) - C)}{k_B T}, \quad \tilde{p} = 1 + \frac{\tilde{c}^2}{n} \left\{ \left( \frac{\tilde{\rho}}{1 - k} \right)^n - 1 \right\}, \end{aligned}$$

где  $\text{Eu} = p_0/(\rho_0 v_0^2)$  — число Эйлера;  $\text{Fr} = v_0/(gt_0)$  — число Фруда;  $\text{Re} = z_0 v_0/\nu_0$  — число Рейнольдса;  $\nu_0 = \mu_0/\rho_0$ . Если положить  $v_0 = (p_0/\rho_0)^{1/2}$ ,  $z_0 = p_0/(\rho_0 g)$ ,  $t_0 = (1/g)(p_0/\rho_0)^{1/2}$ , то числа Эйлера и Фруда будут равны единице, а число Рейнольдса примет вид  $\text{Re} = (p_0/\rho_0)^{3/2}/(\nu_0 g)$ .

Уравнения кинетики зарождения и роста пузырьков:

$$k = \kappa/(1 + \kappa),$$

$$\kappa = \frac{4\pi}{3} J_0 z_0^3 t_0 \int_0^{\tilde{t}} \tilde{J}(\tilde{\tau}) \tilde{R}^3(\tilde{t} - \tilde{\tau}) \exp \left\{ -\frac{4\pi}{3} J_0 z_0^3 t_0 (\tilde{\rho}^3 - 1) \int_0^{\tilde{\tau}} \tilde{J}(\tilde{\tau}') \tilde{R}^3(\tilde{\tau} - \tilde{\tau}') d\tilde{\tau}' \right\} d\tilde{\tau},$$

$$\tilde{J} = \exp \{-G[(\tilde{p}_{ch}/\Delta \tilde{p})^2 - 1]\},$$

$$\tilde{R} \ddot{\tilde{R}} + \frac{3}{2} \dot{\tilde{R}}^2 = \frac{\text{Eu}}{\tilde{\rho}} (\tilde{p}_g - \tilde{p}) + \frac{4\tilde{v}}{\text{Re}} \frac{\dot{\tilde{R}}}{\tilde{R}},$$

$$\frac{1}{3} \text{Re Pr}_D \frac{d\tilde{m}_g}{dt} = \tilde{R} (C_i - C^{eq}(\tilde{p}_g)),$$

$$\tilde{p}_g \tilde{R}^3 = (\rho_0/p_0) (\tilde{m}_g/M) k_B T.$$

Здесь  $\text{Pr}_D \equiv \text{Sh} = \nu_0/D$  — число Прандтля (Шервуда) и, как и в уравнении импульса, в уравнении Рэлея число  $\text{Eu} = 1$ .

Построенная система уравнений полностью определяет динамику прохождения волны разрежения по столбу магматического расплава, находящегося в поле тяжести, и позволяет найти зависимость числа ядер кавитации, образующихся в процессе фазовых превращений за фронтом волны разрежения, а также распределение кавитационных пузырьков по размерам по всей длине столба магматического расплава.

**Результаты расчетов.** Расчеты проводились при следующих параметрах задачи, характерных для взрывных вулканических извержений: высота магматического столба  $H = 1$  км, давление в очаге вулкана, соответствующее глубине его залегания приблизительно 5–7 км,  $p_{ch} = 1700$  атм, а температура  $T = 1150$  К, что соответствует температуре плавления магмы при давлении  $p = p_{ch}$  [12]. В расчетах используются следующие значения свойств магмы:  $\rho_0 = 2300$  кг/м<sup>3</sup>;  $K_H = 4,33 \cdot 10^{-6}$  Па<sup>-1/2</sup>;  $D = 2 \cdot 10^{-11}$  м<sup>2</sup>/с;  $\sigma = 0,076$  Дж/м<sup>2</sup>;  $E_\mu^* = 5,1 \cdot 10^{-19}$  Дж;  $k_\mu = 11$ ;  $\mu^* = 10^{-2,5}$  Па·с. Соответственно, числа подобия задачи имеют следующий порядок:  $Re \approx 1$ ;  $Pr_D \approx 10^{11}$ ;  $G = 16$ . Все результаты расчетов для простоты понимания представлены в размерных переменных.

На рис. 4 показано распределение полей давления и скорости жидкости по высоте столба для трех различных моментов времени. Из графика на рис. 4,б видно, что под действием давления за фронтом волны разрежения жидкость разгоняется до скорости  $v \approx 35$  м/с, что согласуется с оценкой, которая может быть получена из простых соображений:  $p_{ch}/(\rho_0 c) \approx 30$  м/с. В момент времени, которому соответствует кривая 3, волна разрежения доходит до низа столба (координата  $z = 0$ ), отражается и сменяется волной сжатия. При многократном прохождении волны по столбу скорость жидкости будет увеличиваться.

На рис. 5 представлена зависимость числа образующихся в процессе центров нуклеации от  $z$ . Ступенчатый вид функции распределения обусловлен тем, что характерное время нуклеации много меньше характерного времени всего процесса [17]. Это видно из рис. 6, где показана зависимость скорости зарождения пузырьков от времени, построенная в узком диапазоне времени для  $z = 0$ . Отметим, что полученные в настоящей работе количества пузырьков, образующихся в процессе, несколько меньше, чем определено в работе [17]. Это связано с тем, что в [17] декомпрессия считалась мгновенной, в то время как в рассматриваемой задаче волна давления имеет пологий фронт (см. рис. 4,а), поэтому нуклеация

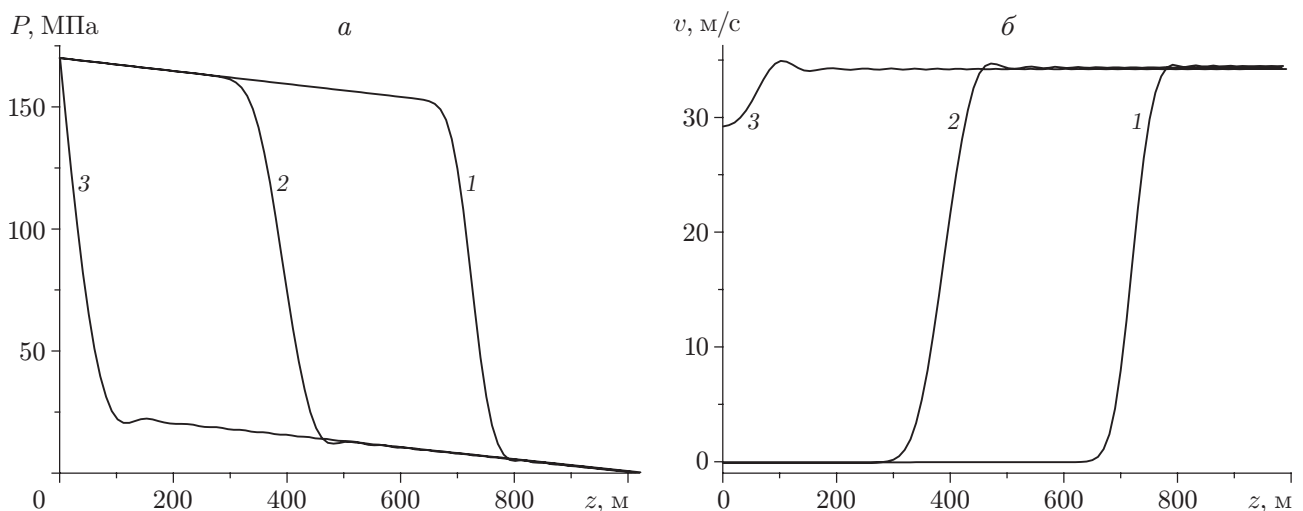


Рис. 4. Зависимость давления (а) и скорости магмы (б) от  $z$  для различных моментов времени:

1 —  $t = 0,21$  с; 2 —  $t = 0,42$  с; 3 —  $t = 0,67$  с

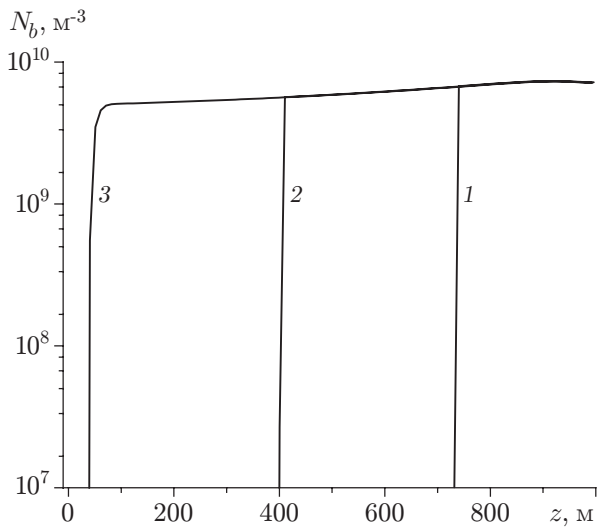


Рис. 5

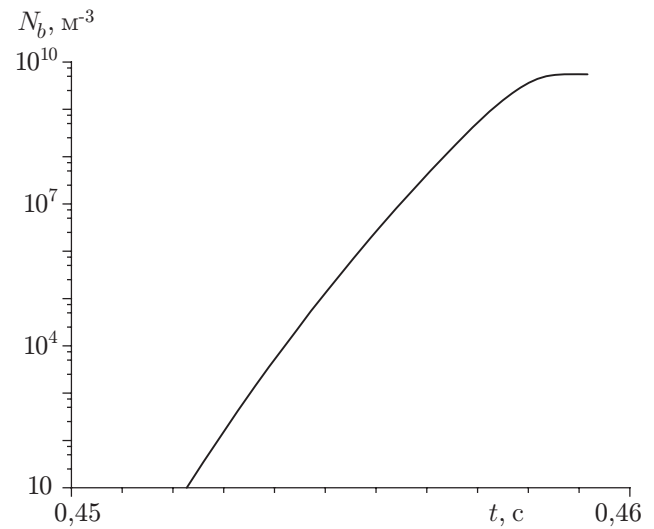


Рис. 6

Рис. 5. Зависимость числа пузырьков от  $z$  для различных моментов времени:  
 1 —  $t = 0,21$  с; 2 —  $t = 0,42$  с; 3 —  $t = 0,67$  с

Рис. 6. Зависимость числа пузырьков от времени при  $z = 0$

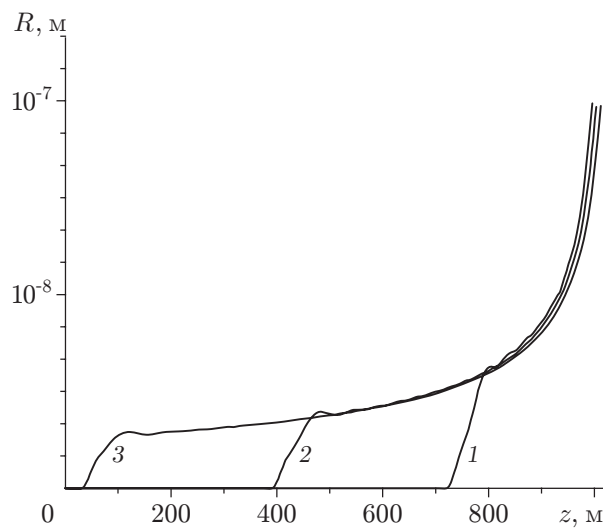


Рис. 7. Функция распределения пузырьков по размерам вдоль столба для различных моментов времени:  
 1 —  $t = 0,21$  с; 2 —  $t = 0,42$  с; 3 —  $t = 0,67$  с

пузырьков происходит при меньших пересыщениях, а следовательно, и при меньших частотах. Кроме того, в механизме роста пузырька в [17] не учитывалось влияние вязкости, проявляющее себя на начальной стадии роста и сдерживающее его, что учтено в настоящей работе.

Представленная модель позволяет рассчитать распределение пузырьков по размерам вдоль столба. Приведенная на рис. 7 функция распределения построена для трех различных моментов времени. Можно выделить две стадии роста пузырька — начальную, когда рост его сдерживается силами вязкого напряжения, и диффузионную, когда динамика роста определяется только диффузионным потоком газа из пересыщенного расплава в пузырек, описываемую корневой зависимостью размера пузырька от времени [7].

## ЛИТЕРАТУРА

1. **Hill D. P., Pollitz F., Newhall Ch.** Earthquake-volcano interactions // *J. Physics Today*. 2002. V. 55. P. 41–47.
2. **Wilson L.** Relationships between pressure, volatile content, and ejecta in three types of volcanic explosion // *J. Volcanol. Geotherm. Res.* 1980. V. 8. P. 297–313.
3. **Слезин Ю. Б.** Механизм вулканических извержений (стационарная модель). М.: Научный мир, 1998.
4. **Dobran F.** Non-equilibrium flow in volcanic conduits and application of the eruption of Mt. St. Helens on May 18 1980 and Vesuvius in Ad. 79 // *J. Volcanol. Geotherm. Res.* 1992. V. 49. P. 285–311.
5. **Papale P., Neri A., Macedonio G.** The role of magma composition and water content in explosive eruptions. 1. Conduit ascent dynamics // *J. Volcanol. Geotherm. Res.* 1998. V. 87. P. 75–93.
6. **Бармин А. А., Мельник О. Э.** Гидродинамика вулканических извержений // *Успехи механики*. 2002. № 1. С. 32–60.
7. **Lyakhovsky V., Hurwitz S., Navon O.** Bubble growth in rhyolitic melts: experimental and numerical investigation // *Bull. Volcanol.* 1996. V. 58, N 1. P. 19–32.
8. **Navon O., Chekhir A., Lyakhovsky V.** Bubble growth in highly viscous melts: theory, experiments, and autoexplosivity of dome lavas // *Earth Planet. Sci. Lett.* 1998. V. 160. P. 763–776.
9. **Proussevitch A. A., Sahagian D. L.** Dynamics of coupled diffusive and decompressive bubble growth in magmatic systems // *J. Geophys. Res.* 1996. V. 101, N 8. P. 17 447–17 456.
10. **Proussevitch A. A., Sahagian D. L.** Dynamics and energetics of bubble growth in magmas: analytical formulation and numerical modeling // *J. Geophys. Res.* 1998. V. 103, N B8. P. 18 223–18 251.
11. **Hort M.** Abrupt change in magma liquidus temperature because of volatile loss or magma mixing: effects on nucleation, crystal growth and thermal history of the magma // *J. Petrology*. 1998. V. 39, N 5. P. 1063–1076.
12. **Чернов А. А.** Об одной модели затвердевания магмы в процессе эксплозивного вулканического извержения // *ПМТФ*. 2003. Т. 44, № 5. С. 80–90.
13. **Stolper E.** Water in silicate glasses: an infrared spectroscopic study // *Contrib. Mineral. Petrol.* 1982. V. 81. P. 1–17.
14. **Кедринский В. К.** Гидродинамика взрыва. Новосибирск: Изд-во СО РАН, 2000.

15. **Persikov E. S., Zharikov V. A., Bukhtiyarov P. G., Pol'skoy S. F.** The effect of volatiles on the properties of magmatic melts // *Europ. J. Mineral.* 1990. V. 2. P. 621–642.
16. **Persikov E. S.** The viscosity of magmatic liquids: experiment, generalized patterns. A model for calculation and prediction. Applications // *Physical chemistry of magmas. V. 9: Advances in physical geochemistry.* N. Y. etc.: Springer-Verlag, 1991. P. 1–40.
17. **Чернов А. А., Кедринский В. К., Давыдов М. Н.** Спонтанное зарождение пузырьков в газонасыщенном расплаве при его мгновенной декомпрессии // *ПМТФ.* 2004. Т. 45, № 2. С. 162–168.
18. **Колмогоров А. Н.** К статистической теории кристаллизации металлов // *Изв. АН СССР. Сер. мат.* 1937. Т. 3. С. 355–359.

*Поступила в редакцию 31/V 2004 г.*

---